

4. 地震動検討に用いる地盤モデルの作成

詳細法による地震動の検討に先立ち、予測計算に用いる地盤モデルを作成した。地盤モデルは、地震本部の「震源断層を特定した地震の強震動予測手法（レシピ）」の考え方にもとづき、次の2つに分けて作成した（図4-1）。

深部地盤モデル：地震基盤～工学的基盤

浅部地盤モデル：工学的基盤～地表

佐賀県付近に分布する地質（図4-2）からみると、上記の地盤は次のような地層から成ると推定される。

- ・ 地震基盤：背振山地に分布する花崗岩類や変成岩類が、地表付近の風化部やゆるみ部を除き、平野部や丘陵地の地下深部にも分布し、地震基盤となっていると推定される。
- ・ 深部地盤：県西部に分布する古～新第三紀層ないしやや古い第四紀層が、佐賀平野の地下にも分布し、深部地盤を構成していると推定される。
- ・ 浅部地盤：佐賀平野などでも、地下浅部に第四紀層（上部更新統～完新統）が広く分布し、これが、浅部地盤を構成している。埋立地等の人工改変層もこれに含まれる。

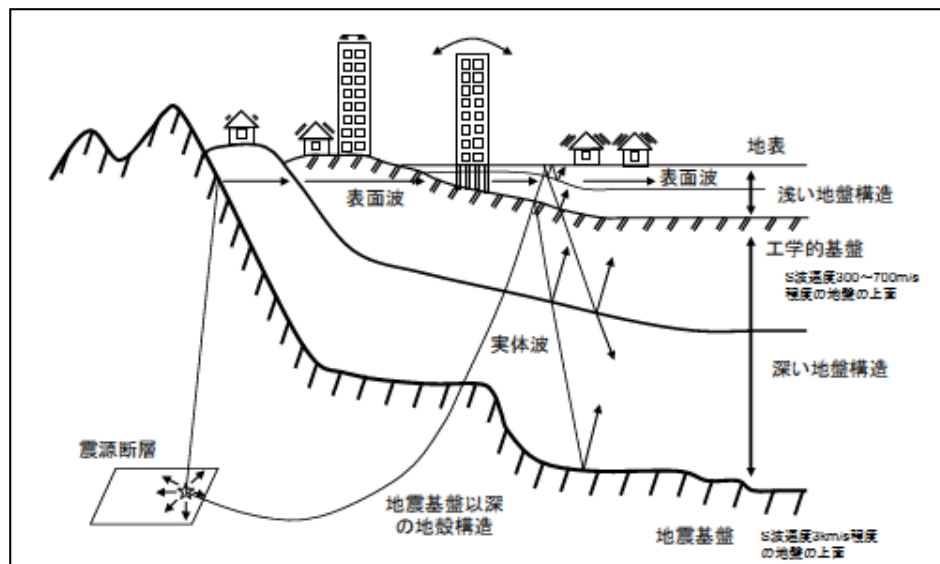


図4-1 「レシピ」における地質構造モデルの模式図
〔地震調査委員会（2009）：震源断層を特定した地震の強震動予測手法（レシピ）〕

4-1. 深部地盤モデルの作成

地震基盤上面から工学的基盤 ($V_s > 0.5 \sim 0.6 \text{ km/sec}$) 上面までは、地震本部（2012）による「全国1次地下構造モデル（暫定版）」の速度層構造をもとに調整（チューニング）した深部地盤モデルを用いて統計的グリーン関数法で計算する。

地震本部（2012）：全国1次地下構造モデル（暫定版），
http://www.jishin.go.jp/main/chousa/12_choshuki/dat/index.htm



図 4-2 佐賀県の地質分布の概要

(産業技術総合研究所地質調査総合センター(編)(2012) 20万分の1日本シームレス地質図データベース(2012年7月3日版)。産業技術総合研究所研究情報公開データベース DB084, 産業技術総合研究所地質調査総合センター。より部分引用して加筆)

チューニング作業では、まず、佐賀県内にある地震観測記録（図 4.1-1）を収集して観測点ごとに R/V (水平動と上下動の比) スペクトルを整理した。解析対象とした地震の数は、気象庁・防災科研の地震計で 1996 年以降の 35 地震、佐賀県管理の地震計で、2010 年以降の 25 地震である。

既往地震の R/V スペクトルでは、佐賀平野内に位置する佐賀市、神埼市、小城市などの観測地点などで周期 4 秒～8 秒付近に明瞭なピークが認められる。これは、この周期の揺れを増幅させる軟質な地層が厚く堆積していることを示唆する。その他の県内の観測地点では、R/V スペクトルの明瞭なピークは認められない（図 4.1-2）。

この観測 R/V スペクトルに対して、地盤モデルを用いた理論計算による H/V (水平動と上下動の比) スペクトルが適合するように、モデルを構成している各層の層厚を修正した（図 4.1-3）。各観測点で地盤モデルを修正した後、観測点ごとの層厚修正量を空間補間することにより、面的に深部地盤モデルを修正した（図 4.1-4）。

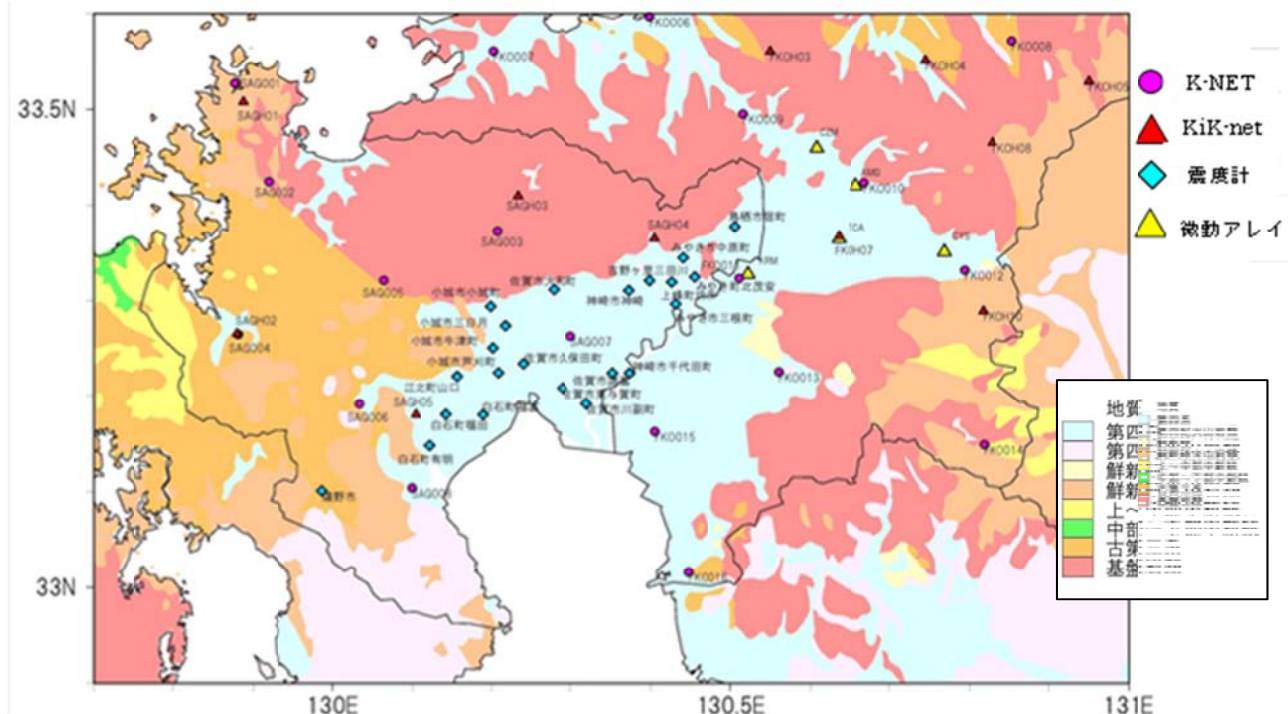


図 4.1-1 佐賀県内の地震観測地点の位置(今回データを収集した地点)

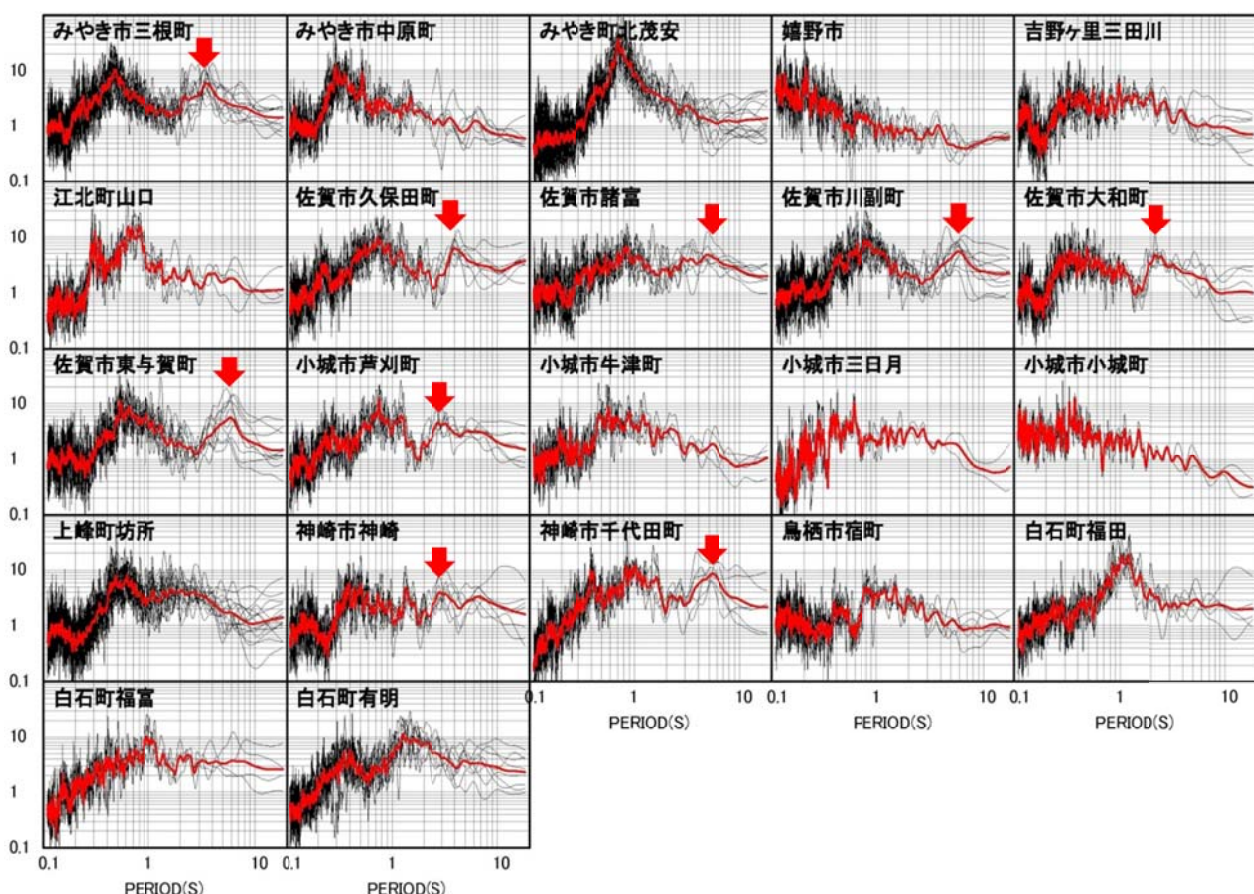
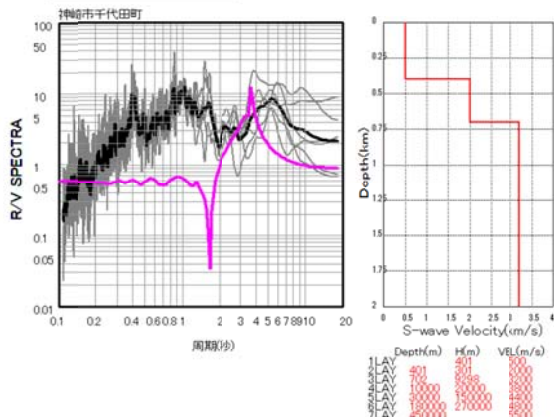


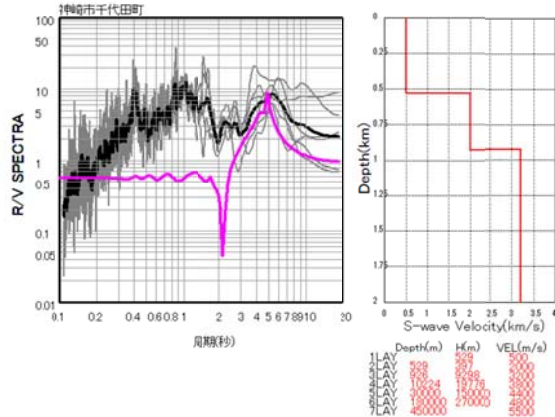
図 4.1-2 佐賀県の地震計ネットワークの観測地点におけるR/Vスペクトル
(黒色線：観測波形のR/Vスペクトル、赤色線：スペクトルの平均)

神埼市千代田町地点

修正前モデル

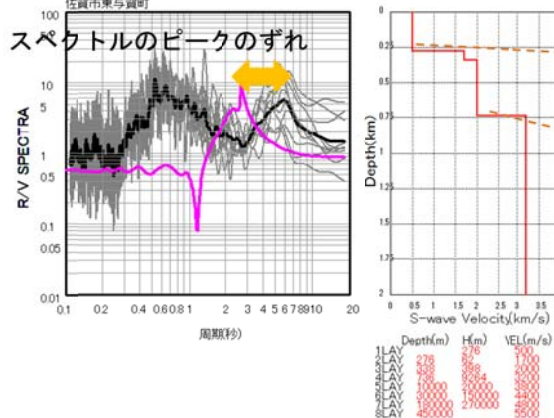


深部地盤修正後モデル



佐賀市東与賀町地点

修正前モデル



深部地盤修正後モデル

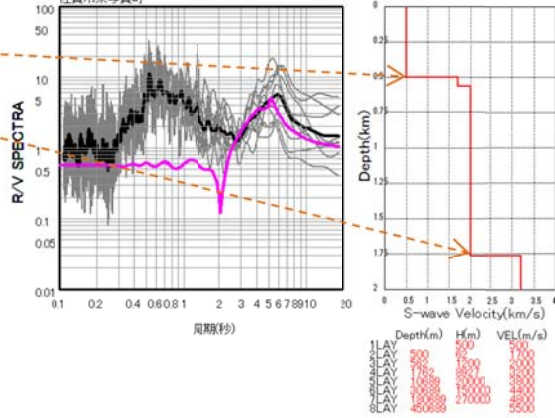


図 4.1-3 観測データを用いた深部地盤モデルの修正例

また、山田・竹中(2012)による微動アレイ探査結果を用いて、最表層の S 波速度を 0.6km/s から 0.5km/s に修正を行った。それ以外の速度層については、S 波速度を固定し、各層の層厚を調整することにより、観測位相速度および地震動の R/V スペクトルのピーク周期を説明できるように、佐賀平野を中心とした地域についてモデルを修正し、平野東部については、地震基盤等の上面深度をおおむね深く修正した。また、平野西部については、上面深度を浅く修正した地点が多くなった。

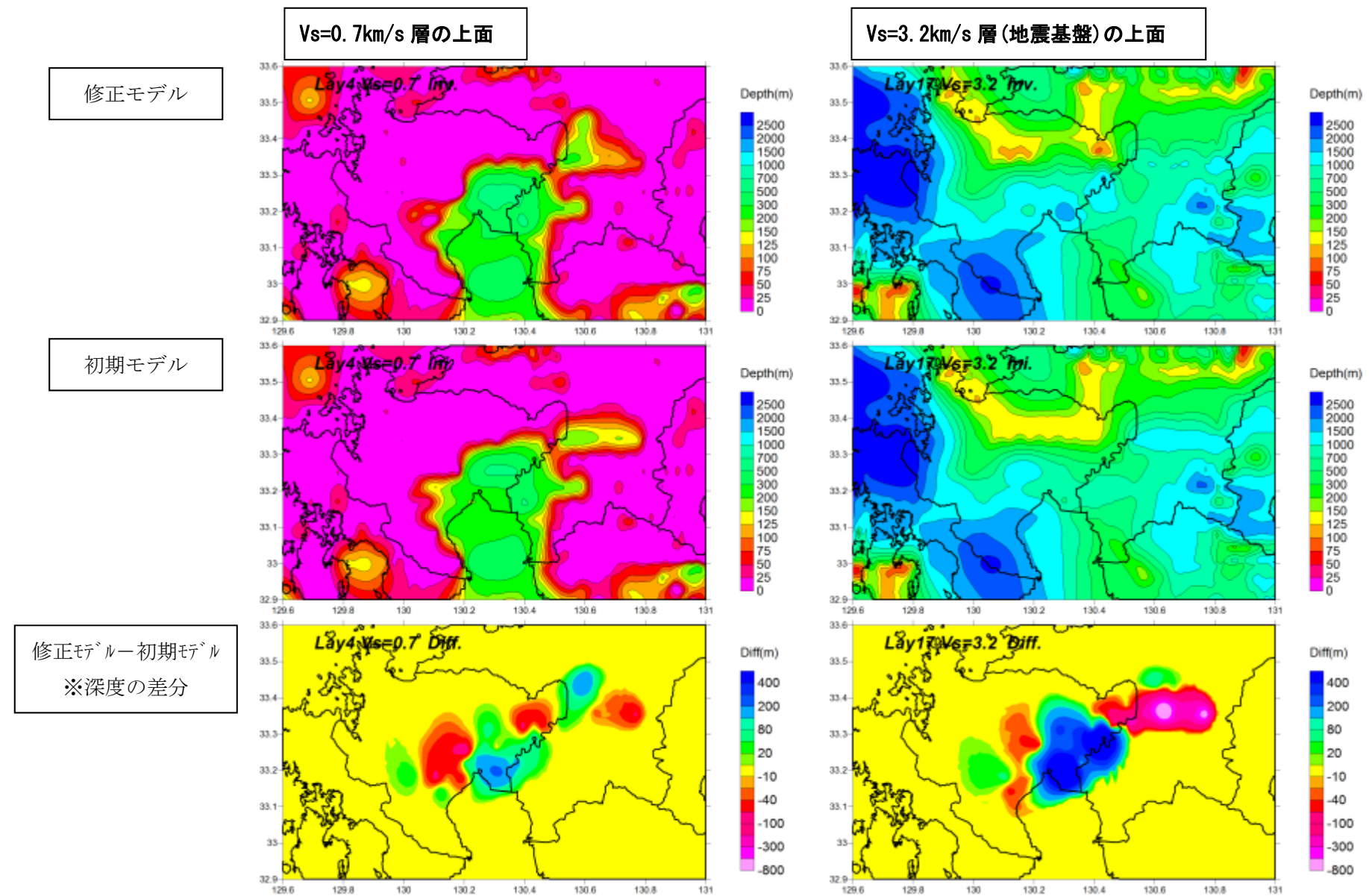


図 4.1-4 観測データを用いた深部地盤モデルの修正：各速度層上面の補間

(佐賀平野を中心に、地震本部の初期モデルをより深くする修正を行った。代表的な速度層の修正状況を示す。)

4-2. 浅部地盤モデルの作成

工学的基盤上面から地表面まで地盤については、国・県・市町の各機関から収集したボーリングデータ等を用いて速度構造モデルを作成した。地表面における地震動は、このモデルを用いて応答計算を行って求めた。

モデル作成の基礎となる微地形区分については、関東学院大学・若松教授、東京工業大学・松岡准教授による250mメッシュ微地形区分図（世界測地系）を用いた。

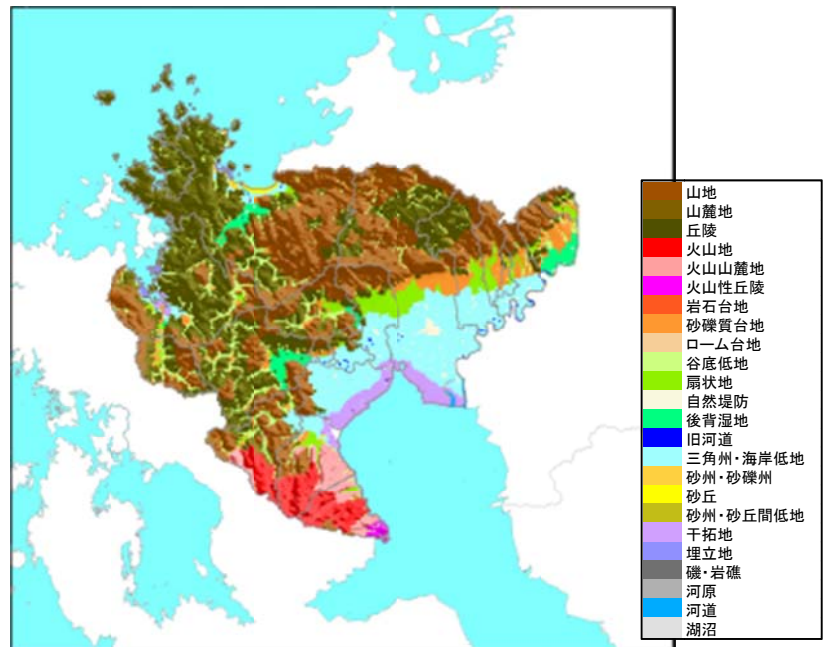


図4.2-1
若松らによる微地形区分

(1) ボーリングデータを用いた地層区分と層構造モデルの作成

収集したボーリングデータは、デジタル化し、位置を整理した。佐賀平野については、かなり広範囲にデータが収集できたが、唐津、伊万里などの玄界灘にそそぐ河川沿いの平野部については、ボーリングデータはあまり多くない。

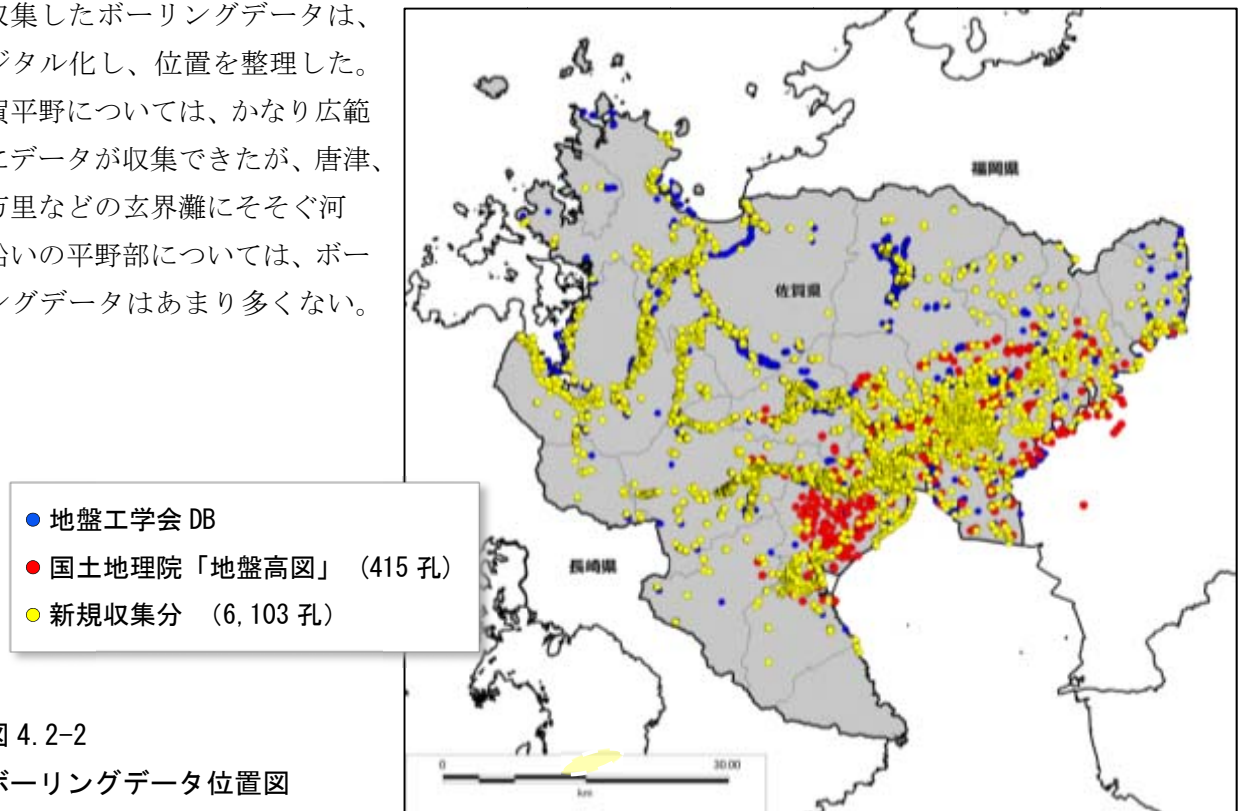


図4.2-2
ボーリングデータ位置図

ボーリングデータは、記載された地質・土質区分とN値をもとに、既往の文献（下山ほか, 2010 など）に示された地層区分を参照して層区分した（図 4.2-3）。図 4.2-4 に佐賀平野地域における地層区分の例を断面図として示す。また、各層の分布とそれらの分布深度をもとに、地質学的な推定を加えて作成した地層上面のセンター図を図 4.2-5 に示す。

この結果を用いて、250mメッシュごとに地層境界深度を設定し柱状の層構造モデルを作成した。図 4.2-6(1)～(2)に佐賀県庁付近の地盤モデルを断面図的に示す。

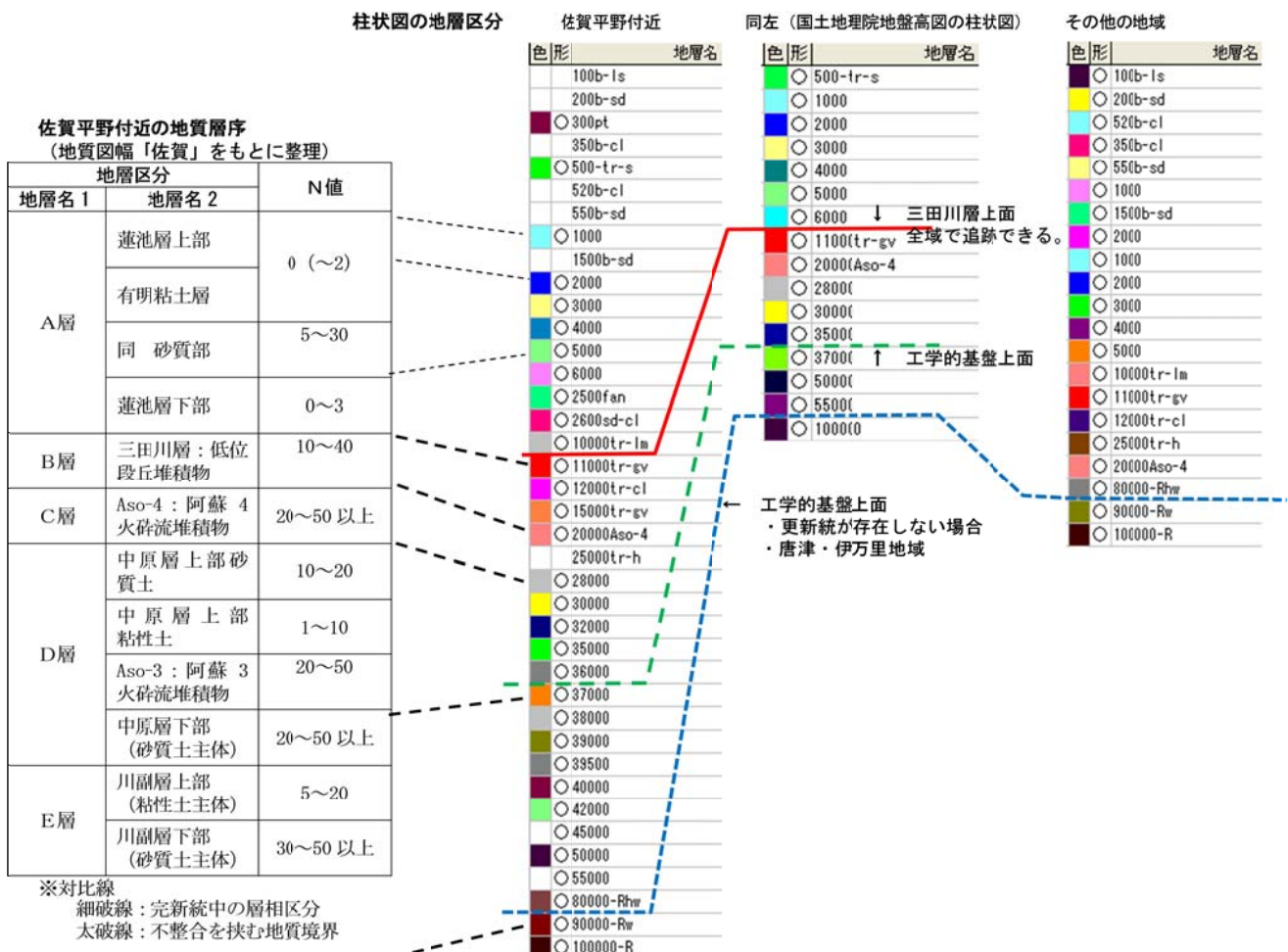


図 4.2-3 柱状図の地層区分と佐賀平野付近の地質層序の対比

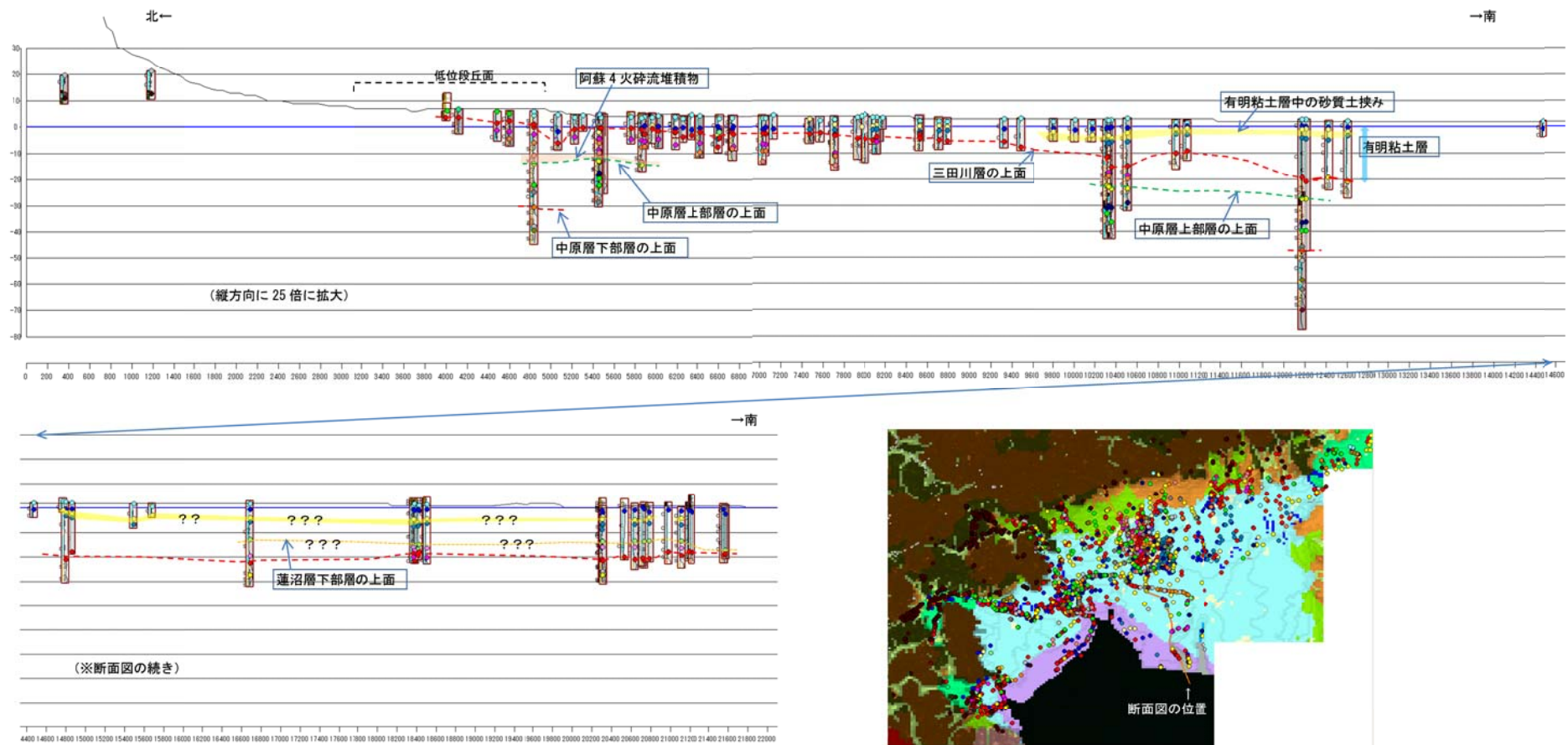
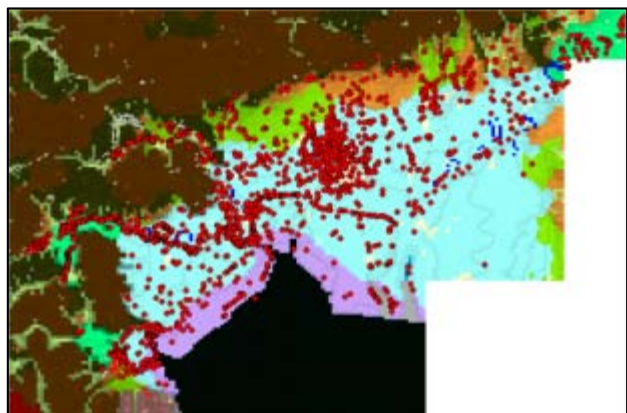
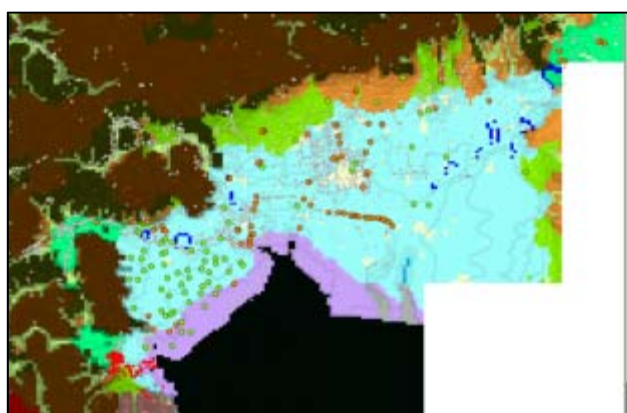
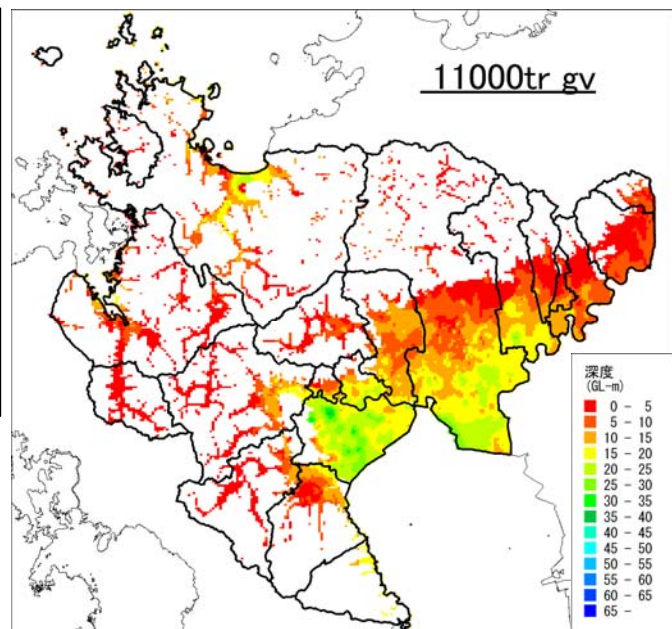


図 4.2-4 佐賀平野における地層区分の例：佐賀平野：南北方向断面



三田川層：段丘堆積層(11000)
：低地部の地下に埋没



中原層下部層(37000)

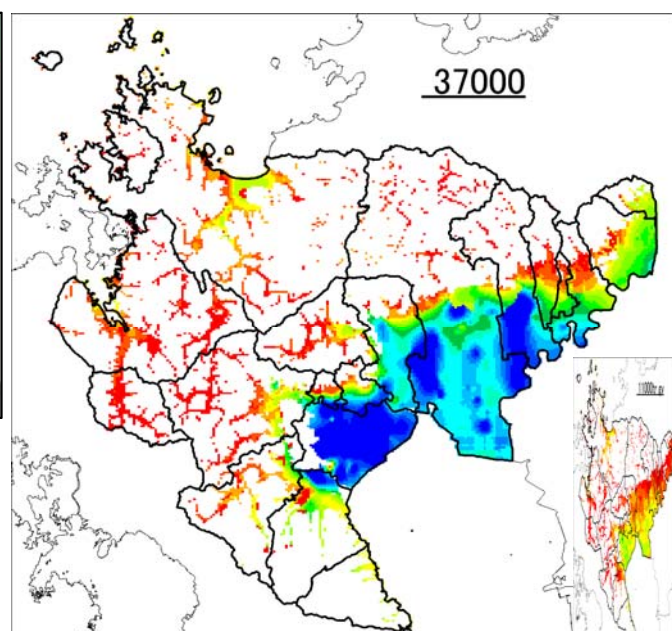


図 4.2-5 各々の地層を確認したボーリング地点(左)と地層の上面コンター(右)

A

A'

土質断面: 紋度 = 33度 14分 56.249秒 (経度 = 130度 14分 15秒 ~ 130度 21分 33.75秒)

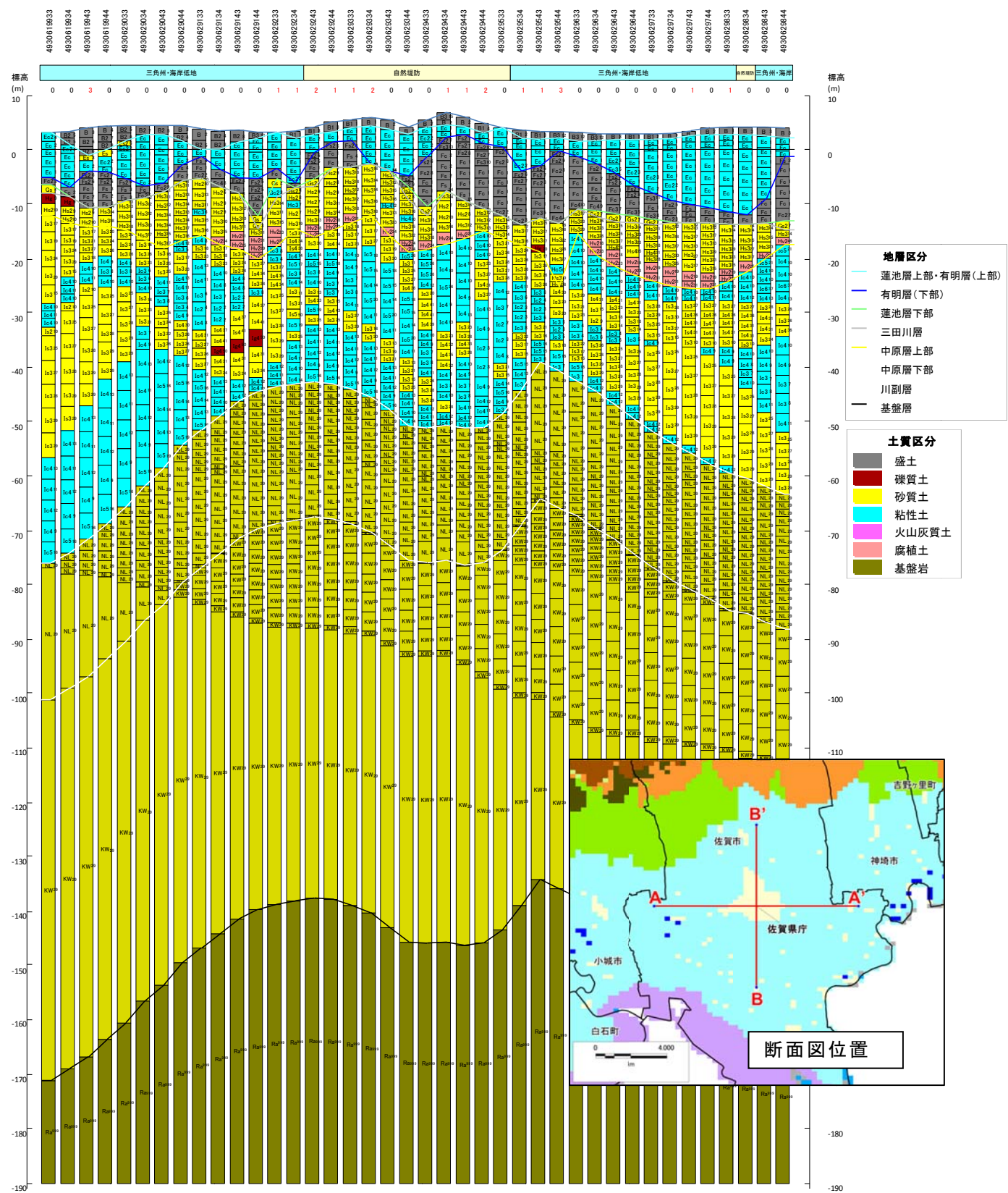


図 4.2-6(1) 作成した地盤モデル：佐賀県庁付近をとおる土質断面図（東西断面）

※各柱状図が 250m メッシュごとの地盤モデル

B

B'

土質断面: 経度 = 130度 17分 54.375秒 (緯度 = 33度 12分 29.999秒 ~ 33度 17分 22.499秒)

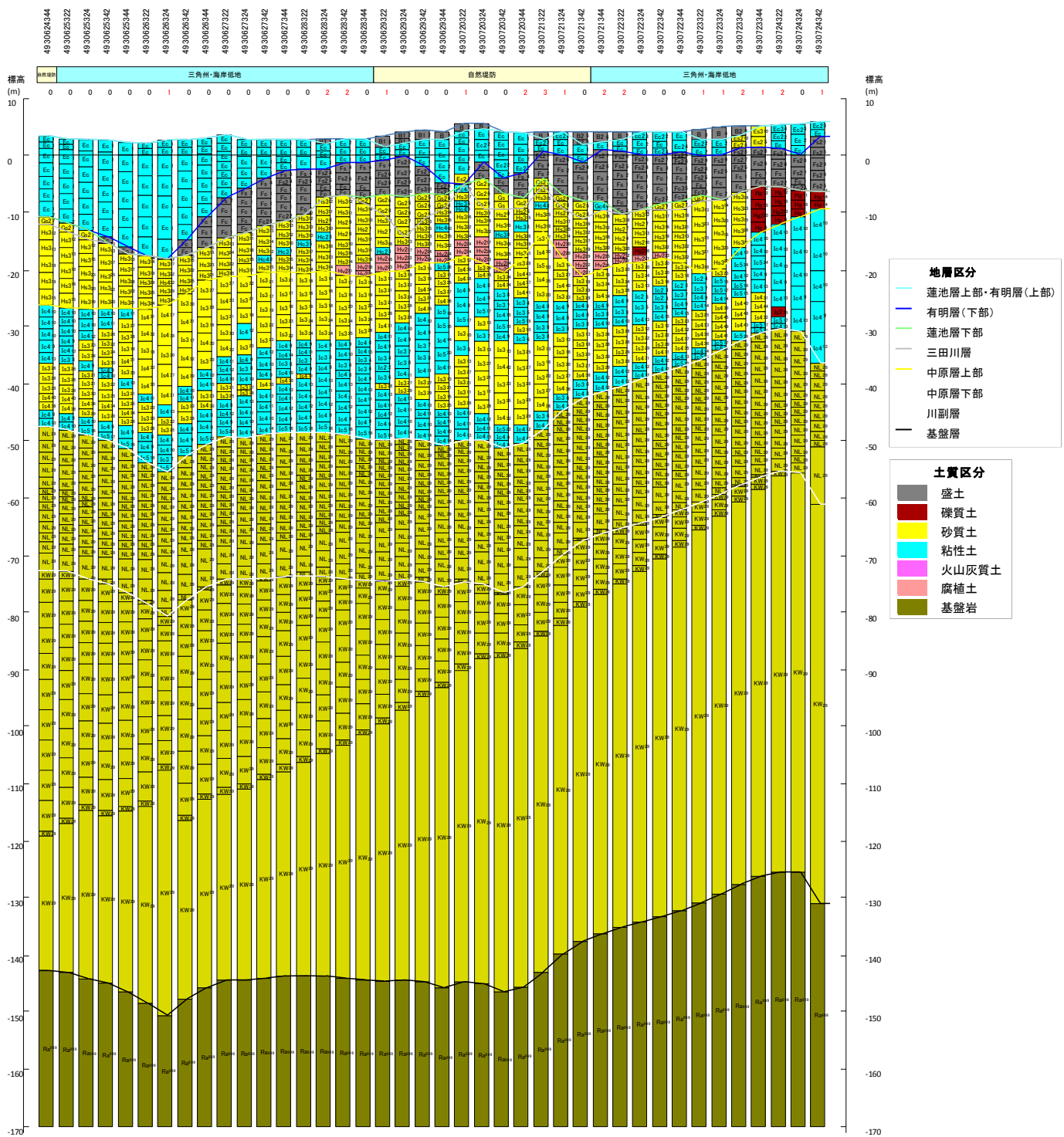


図 4.2-6(2) 作成した地盤モデル：佐賀県庁付近をとおる土質断面図（南北断面）

(2) 物性値の設定 : S 波速度等

佐賀県地域の地盤における S 波速度は、図 4.2-7 のような深度方向の変化傾向を示す。

佐賀平野付近では、工学的基盤相当（深部地盤モデル最上位層）にあたる S 波速度 ($V_s=300 \sim 350\text{m}/\text{秒}$) となる深度は、60～70m 程度である。これは、中原層下部ないし川副層にあたる。

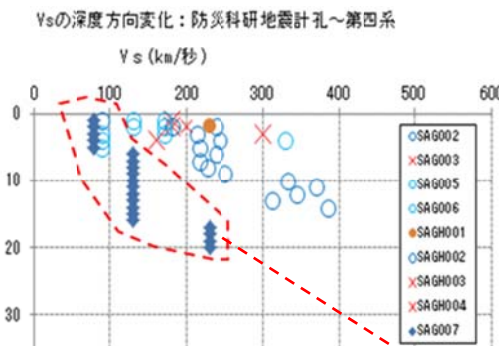
工学的基盤より上位の地層については、P S 検層結果をもとに、地質年代別、層相別に N 値と S 波速度（以下、 V_s ）との相関関係を整理した。地質区分ごとに整理した N 値のヒストグラムと N 値の深度分布等を図 4.2-8(1)～(2)、図 4.2-9 に示す。また、N 値と V_s の相関関係を図 4.2-10 にまとめた。このような土質区分と物性値の相関関係を用いて、地層区分ごと物性値を設定した。

工学的基盤上面となる中原層下部層の上面深度については、ボーリングの掘進が達していない場合が多いので、ボーリングデータの読み取り深度に加えて、全域で追跡でき、鍵層となる三田川層上面の深度をもとに、そこから 30m 下に設定した。また、図 4.2-7 の速度構造の変化傾向をもとに S 波速度を設定した。

佐賀平野以外の地域については、基本的な物性値設定の考え方は佐賀平野と同様としたが、堆積層が薄く、岩盤が地下のごく浅い深度の出現する地域では、図 4.2-9 に示したような岩盤の強・弱風化部の N 値をもとに、岩盤の弱風化部以深を工学的基盤と設定した。具体的には、山地、丘陵部での弱風化部上面の深さを地表からの深度 10m 程度として地盤をモデル化した。なお、各層の単位体積重量は、中央防災会議（2001）の資料を用いて設定した。

このようにして設定した佐賀県地域の地盤構成層の物性値を表 4.2-1 にまとめた。また、前出の土質断面図を S 波速度断面に変換した例を図 4.2-11(1)～(2) に示す。

（佐賀平野以外の地域も含むデータ）

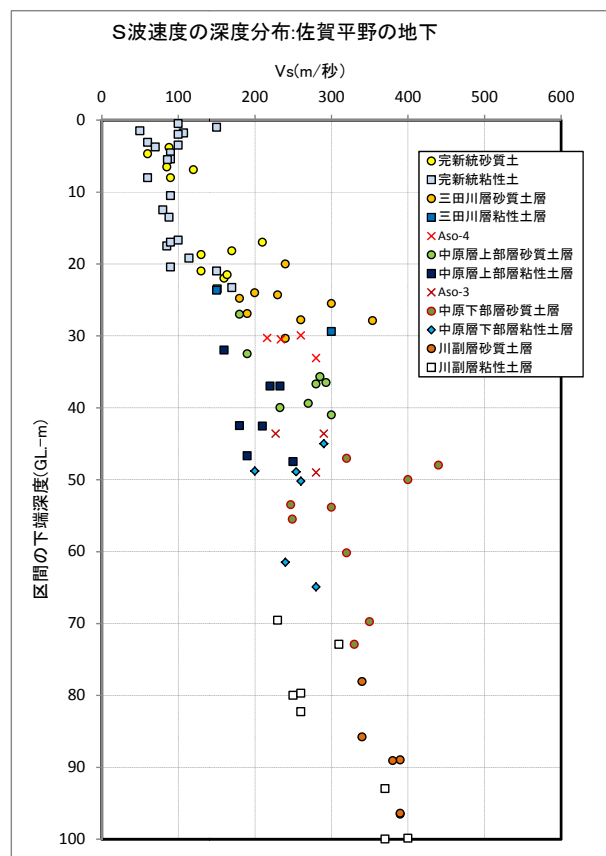


※佐賀平野地下の第四系のデータ（佐賀、武雄）は、他の地域とは別傾向。

図 4.2-7

佐賀県地域における S 波速度 (V_s) の深度方向変化

（佐賀平野地域のデータ）



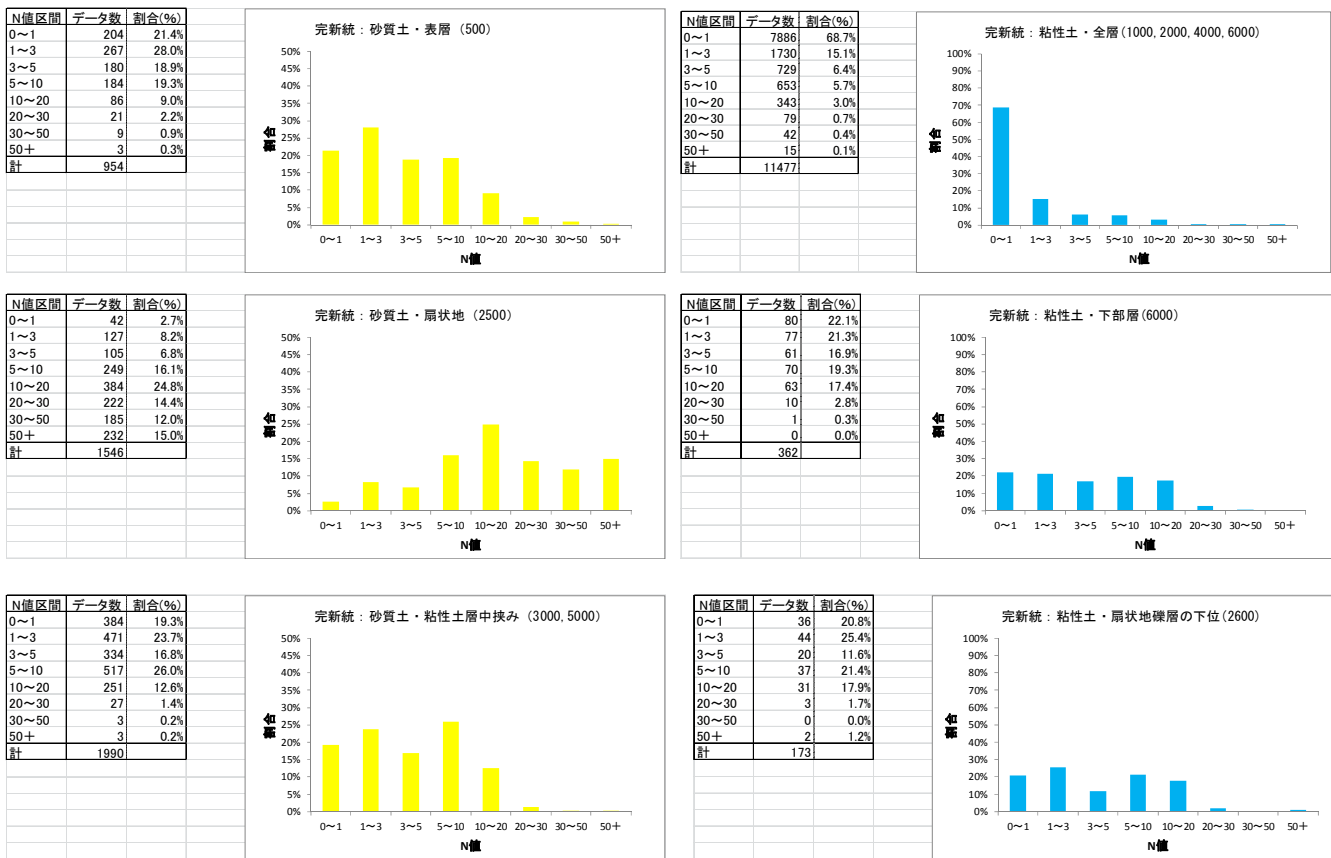


図 4.2-8(1) 地層区別別のN値(1)：佐賀平野付近・完新統

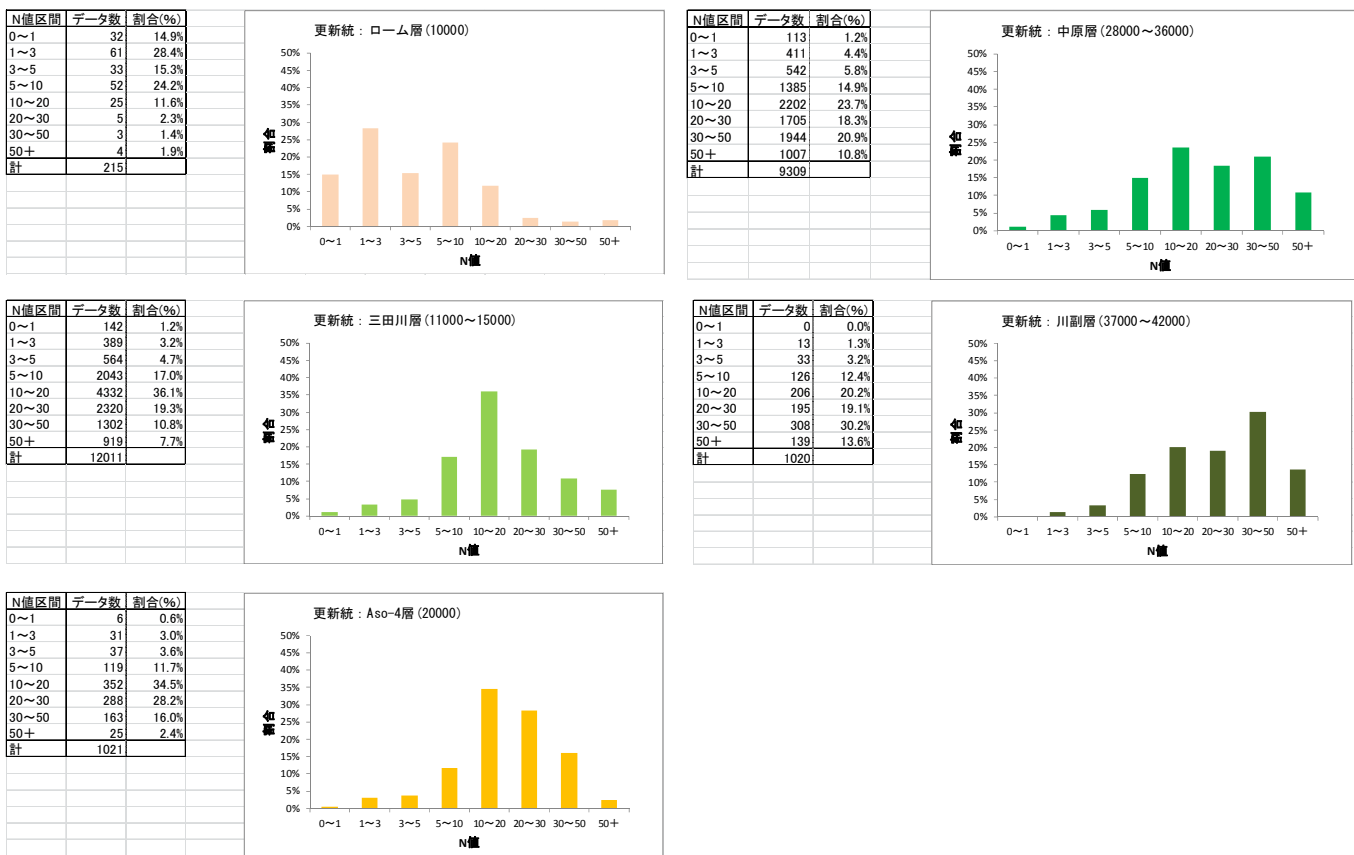


図 4.2-8(2) 地層区別別のN値(2)：佐賀平野付近・更新統ほか

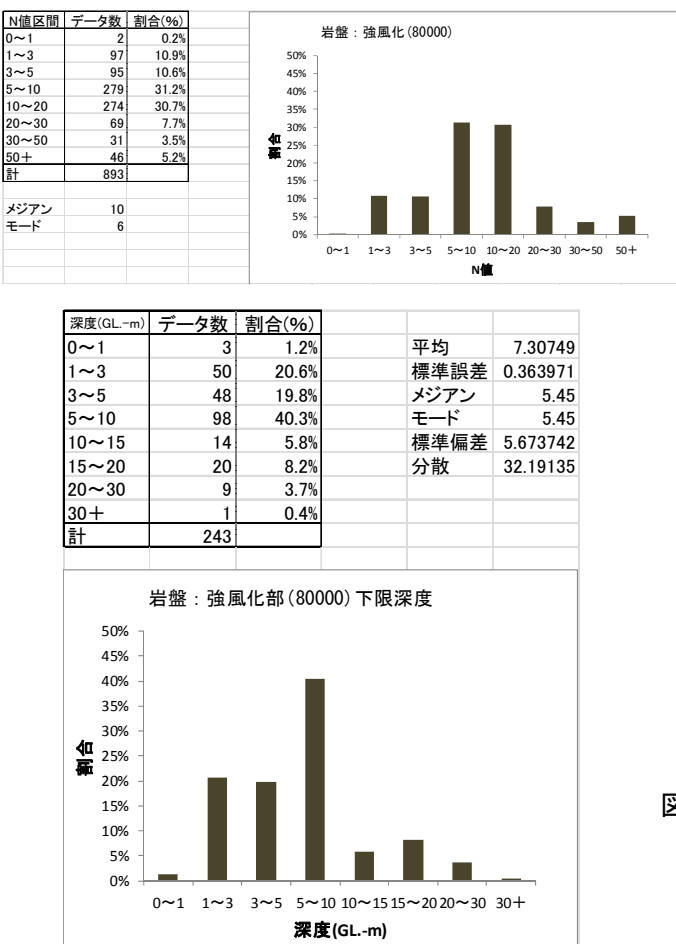


図 4.2-9
基盤（岩盤）風化部のN値と
深度分布：佐賀平野と周辺

表 4.2-1 佐賀県地域の地盤構成層の物性値

・第四系：平野部地下

地層名 1	地層名 2	N 値	弾性波速度速度 (m/秒)	
			Vp	Vs
A層	蓮池層上部	0 (~2)	1,500	100
	有明粘土層			
	同 砂質部	5~30	1,700	200
	蓮池層下部	0~3	1,600	100
B層	三田川層	10~40	1,700	230
C層	Aso-4	20~50 以上	(2,000)	(400)
D層	中原層上部砂質土	10~20	1,600	200
	同 粘性土	1~10	1,500	(150)
	Aso-3	20~50	1,700	300
	中原層下部（砂質土主体）	20~50 以上	1,800	350
E層	川副層上部（粘性土主体）	5~20	1,700	250
	川副層下部（砂質土主体）	30~50 以上	2,000	400

・基盤：山地部、丘陵部の表層

構成地質	項目	強風化部	弱風化部	新鮮部
古第三系	深度(GL.-m)	0~10	10~20	20~
	Vs (m/秒)	200	300	700+*
火山岩類	深度(GL.-m)	0~10	10~20	20~
	Vs (m/秒)	200	300	700+*
花崗岩類・変成岩類	深度(GL.-m)	0~10	10~20	20~
	Vs (m/秒)	200	300	900+*

*深部地盤モデル最上位層

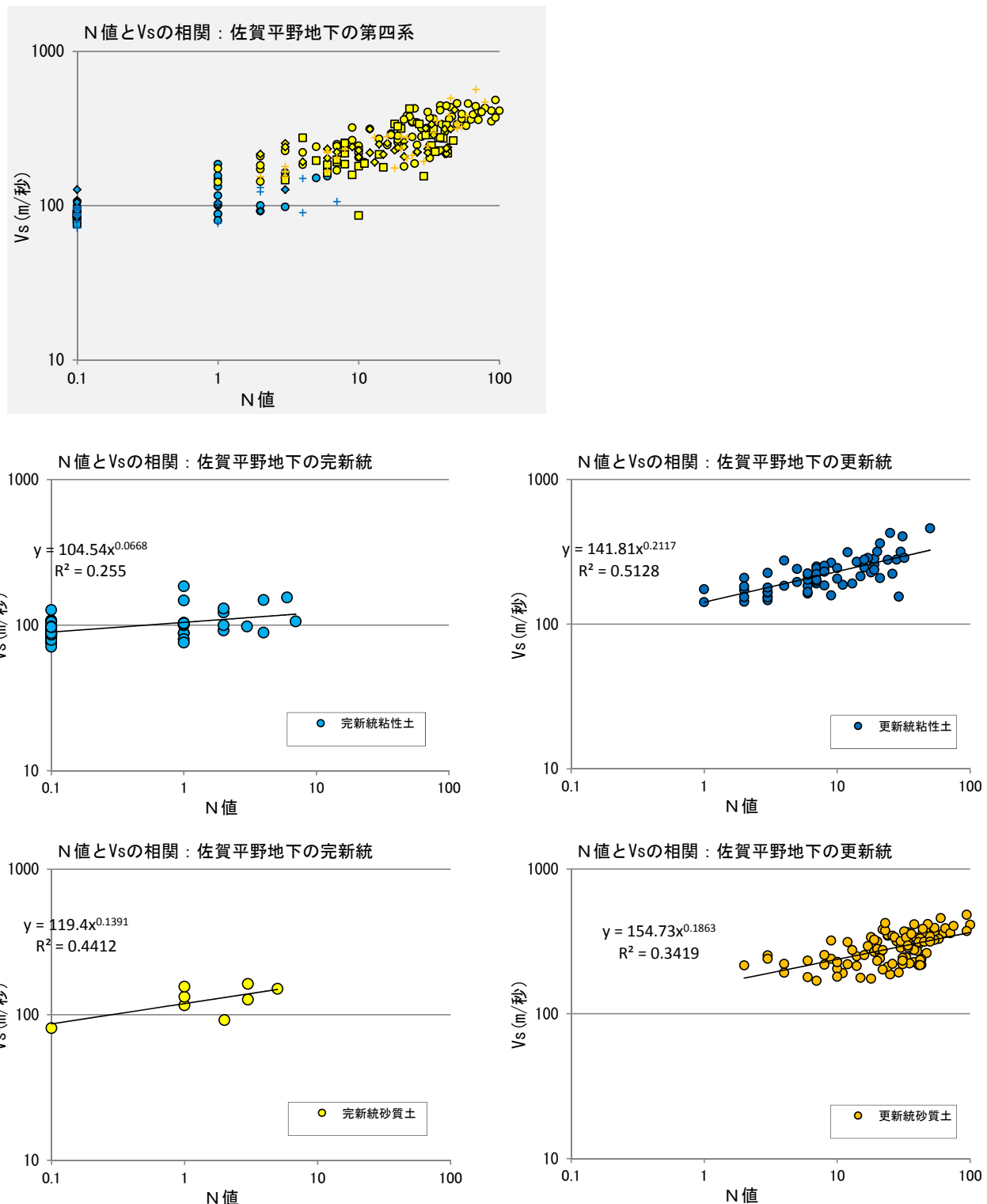


図 4.2-10 N 値と S 波速度の相関：サスペンション法

A

A'

速度断面: 緯度 = 33度 14分 56.249秒 (経度 = 130度 14分 15秒 ~ 130度 21分 33.75秒)

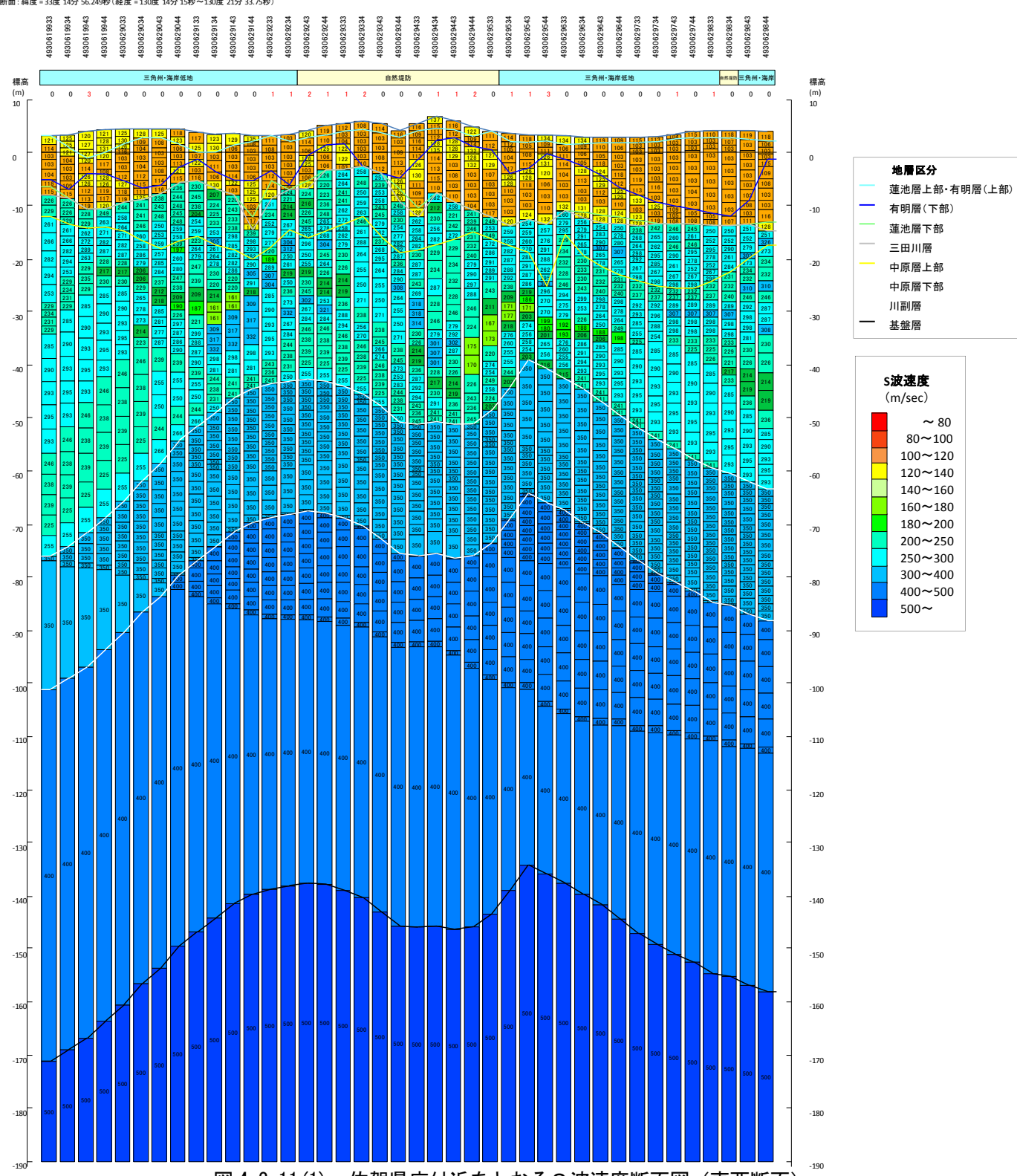


図 4.2-11(1) 佐賀県庁付近をとおるS波速度断面図（東西断面）

※各柱状図が250mメッシュごとの地盤モデル。図4.2-6(1)に対応。

B

B'

速度断面: 経度 = 130度 17分 54.375秒 (緯度 = 33度 12分 29.999秒 ~ 33度 17分 22.499秒)

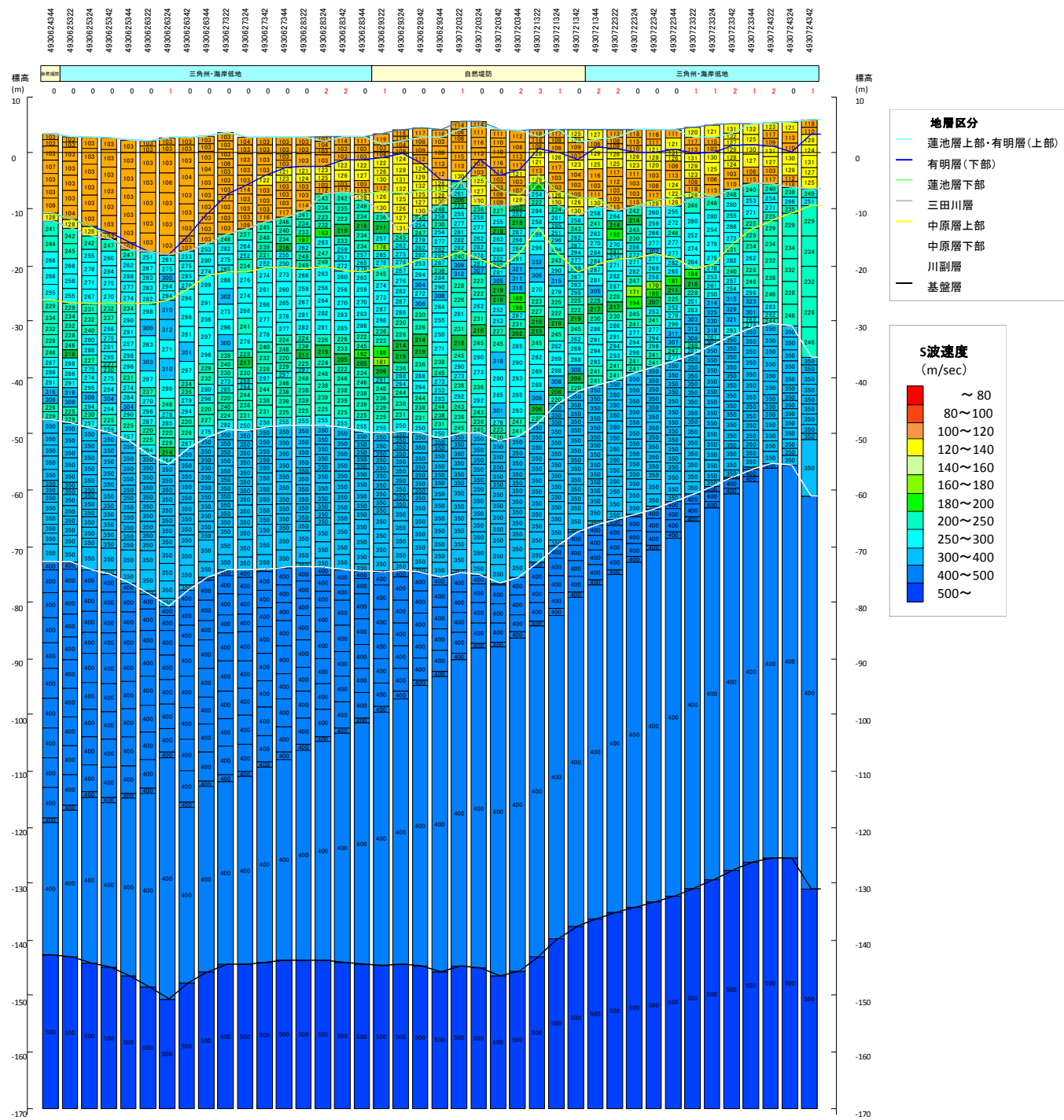


図 4.2-11(2) 佐賀県庁付近をとおる S 波速度断面図（南北断面）

※図4.2-6(2)に対応。

(3) 物性値の設定：動的変形特性

佐賀平野地下に広く分布する有明粘土層は、きわめて軟質であり、工学的基盤から地表への地震波伝播過程において搖れが吸収され、他の地域の地盤に比べて地震動の増幅効果が小さくなる可能性がある。

このような地盤特性を地震動予測計算に反映させるために、モデル化の対象とした各層の粘性土（有明粘土層等）について、既存の動的変形特性試験結果を地層区分別にとりまとめた（有明粘土層のデータを図4.2-12に示す）。とりまとめにあたっては、善ほか(1987)を参考にした。

これらによると、ほとんどの既存試験結果は、善ほか(1987)の $I_p=30$ 以上の $G/G_0 \sim \gamma$ 曲線より、上側にある。つまりせん断ひずみ γ の増加に伴う剛性率比 G/G_0 の変化が、善ほか(1987)の曲線より低下しない傾向となっている。また、 $h \sim \gamma$ 曲線は $I_p=30$ 以上の平均曲線より下側にある。つまり、減衰比 h が、せん断ひずみ γ によりあまり上昇しない傾向にある。

以上の結果をふまえ、完新統（蓮沼層上部層(aAc1)、有明粘土層(aAc2)）、完新統（蓮沼層下部層(aH1c)）および更新統（中原層(dNc1)）の動的変形特性曲線は、既存試験結果の平均値（緑色の曲線）を採用することとした。

また、砂など他の地層については、土木研究所による砂質土の動的変形特性曲線（岩崎・龍岡・高木(1977)）を、また、礫質土については今津・福武(1986)の動的変形特性曲線を用いることとした。

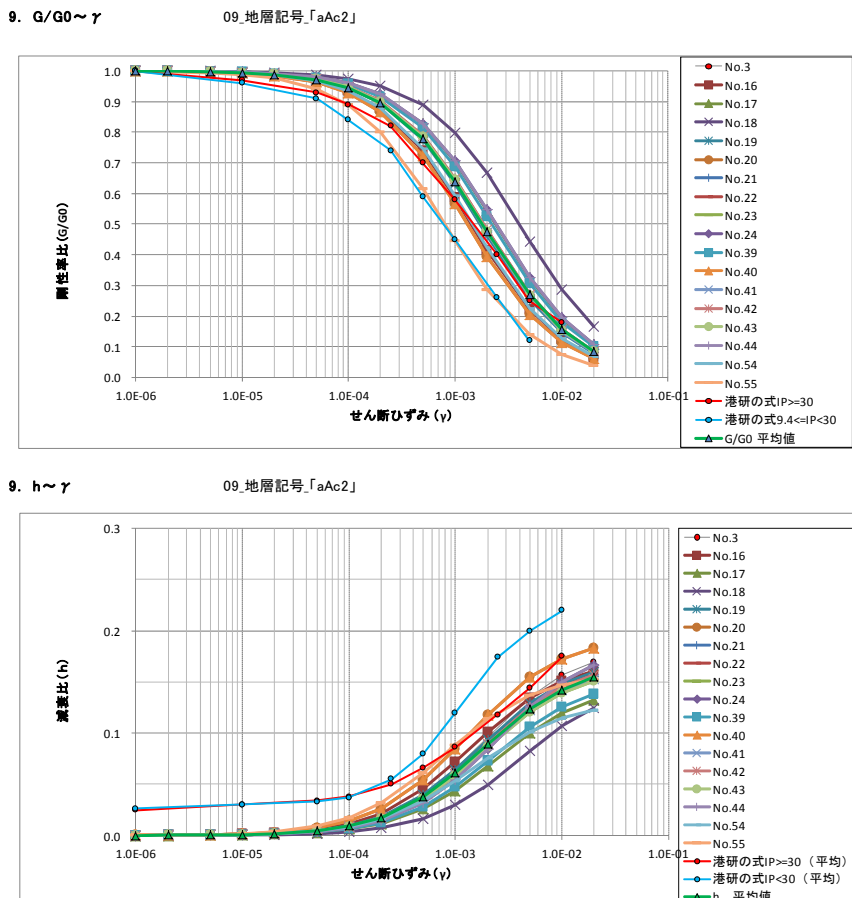


図 4.2-12
地層別動的変形特性データ
(有明粘土層)
※今回整理したデータの平均値を、
黒△-緑線で示す。

善功企・山崎浩之・梅原靖文(1987)の「地震応答解析のための土の動的特性に関する実験的研究」港研報告 Vol. 26, No. 2, pp. 41-133.

岩崎敏男・龍岡文夫・高木義和(1977)：砂のセン断変形係数と減衰の歪依存性について、第12回土質工学発表講演集, 417-420.

今津雅紀・福武毅芳(1986)：動的変形特性のデータ処理に関する一考察、第21回土質工学研究発表会 pp. 533-536.